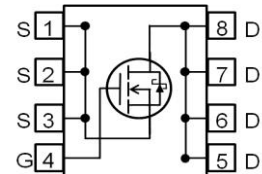


OptiMOS™ Power-MOSFET
Features

- Optimized SyncFET for high performance buck converter
- Integrated monolithic Schottky-like diode
- Very low on-resistance $R_{DS(on)}$ @ $V_{GS}=4.5\text{ V}$
- 100% avalanche tested
- Superior thermal resistance
- N-channel
- Qualified according to JEDEC¹⁾ for target applications
- Pb-free lead plating; RoHS compliant
- Halogen-free according to IEC61249-2-21


Product Summary

| | | |
|------------------|-----|----|
| V_{DS} | 30 | V |
| $R_{DS(on),max}$ | 2.1 | mΩ |
| I_D | 40 | A |
| Q_{OSS} | 28 | nC |
| $Q_G(0V..10V)$ | 41 | nC |

PG-TSDSON-8 (fused leads)


| Type | Package | Marking |
|------------|---------------------------|---------|
| BSZ0901NSI | PG-TSDSON-8 (fused leads) | 0901NSI |

Maximum ratings, at $T_j=25\text{ °C}$, unless otherwise specified

| Parameter | Symbol | Conditions | Value | Unit |
|---|---------------|---|-------|------|
| Continuous drain current | I_D | $V_{GS}=10\text{ V}, T_C=25\text{ °C}$ | 40 | A |
| | | $V_{GS}=10\text{ V}, T_C=100\text{ °C}$ | 40 | |
| | | $V_{GS}=4.5\text{ V}, T_C=25\text{ °C}$ | 40 | |
| | | $V_{GS}=4.5\text{ V}, T_C=100\text{ °C}$ | 40 | |
| | | $V_{GS}=10\text{ V}, T_A=25\text{ °C}, R_{thJA}=60\text{ K/W}^2)$ | 25 | |
| Pulsed drain current ³⁾ | $I_{D,pulse}$ | $T_C=25\text{ °C}$ | 160 | |
| Avalanche current, single pulse ⁴⁾ | I_{AS} | $T_C=25\text{ °C}$ | 20 | |
| Avalanche energy, single pulse | E_{AS} | $I_D=20\text{ A}, R_{GS}=25\text{ Ω}$ | 80 | mJ |
| Gate source voltage | V_{GS} | | ±20 | V |

¹⁾ J-STD20 and JESD22

²⁾ Device on 40 mm x 40 mm x 1.5 mm epoxy PCB FR4 with 6 cm² (one layer, 70 μm thick) copper area for drain connection. PCB is vertical in still air.

Maximum ratings, at $T_j=25\text{ °C}$, unless otherwise specified

| Parameter | Symbol | Conditions | Value | Unit |
|-------------------------------------|-----------------------|--|-------------|------|
| Power dissipation | P_{tot} | $T_C=25\text{ °C}$ | 69 | W |
| | | $T_A=25\text{ °C}$, $R_{\text{thJA}}=60\text{ K/W}^2)$ | 2.1 | |
| Operating and storage temperature | T_j, T_{stg} | | -55 ... 150 | °C |
| IEC climatic category; DIN IEC 68-1 | | | 55/150/56 | |

| Parameter | Symbol | Conditions | Values | | | Unit |
|-----------|--------|------------|--------|------|------|------|
| | | | min. | typ. | max. | |

Thermal characteristics

| | | | | | | |
|-------------------------------------|-------------------|--|---|---|-----|-----|
| Thermal resistance, junction - case | R_{thJC} | | - | - | 1.8 | K/W |
| Device on PCB | R_{thJA} | 6 cm ² cooling area ²⁾ | - | - | 60 | |

Electrical characteristics, at $T_j=25\text{ °C}$, unless otherwise specified

Static characteristics

| | | | | | | |
|---|---|---|-----|-----|-----|------|
| Drain-source breakdown voltage | $V_{(\text{BR})\text{DSS}}$ | $V_{\text{GS}}=0\text{ V}$, $I_{\text{D}}=10\text{ mA}$ | 30 | - | - | V |
| Breakdown voltage temperature coefficient | $\frac{dV_{(\text{BR})\text{DSS}}}{dT_j}$ | $I_{\text{D}}=10\text{ mA}$, referenced to 25 °C | - | 15 | - | mV/K |
| Gate threshold voltage | $V_{\text{GS(th)}}$ | $V_{\text{DS}}=V_{\text{GS}}$, $I_{\text{D}}=250\text{ }\mu\text{A}$ | 1.2 | - | 2 | V |
| Zero gate voltage drain current | I_{DSS} | $V_{\text{DS}}=24\text{ V}$, $V_{\text{GS}}=0\text{ V}$ | - | - | 0.5 | mA |
| | | $V_{\text{DS}}=24\text{ V}$, $V_{\text{GS}}=0\text{ V}$, $T_j=125\text{ °C}$ | - | 3 | - | |
| Gate-source leakage current | I_{GSS} | $V_{\text{GS}}=20\text{ V}$, $V_{\text{DS}}=0\text{ V}$ | - | 10 | 100 | nA |
| Drain-source on-state resistance | $R_{\text{DS(on)}}$ | $V_{\text{GS}}=4.5\text{ V}$, $I_{\text{D}}=20\text{ A}$ | - | 2.2 | 2.8 | mΩ |
| | | $V_{\text{GS}}=10\text{ V}$, $I_{\text{D}}=20\text{ A}$ | - | 1.8 | 2.1 | |
| Gate resistance | R_{G} | | 0.4 | 0.8 | 1.6 | Ω |
| Transconductance | g_{fs} | $ V_{\text{DS}} >2 I_{\text{D}} R_{\text{DS(on)max}}$, $I_{\text{D}}=20\text{ A}$ | 50 | 100 | - | S |

³⁾ See figure 3 for more detailed information

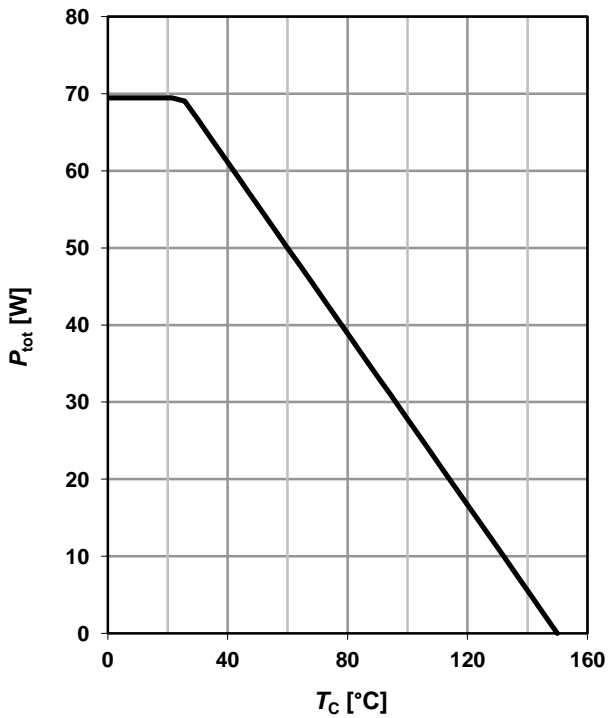
⁴⁾ See figure 13 for more detailed information

| Parameter | Symbol | Conditions | Values | | | Unit |
|---|---------------|---|--------|------|------|------|
| | | | min. | typ. | max. | |
| Dynamic characteristics | | | | | | |
| Input capacitance | C_{iss} | $V_{GS}=0\text{ V}, V_{DS}=15\text{ V},$ $f=1\text{ MHz}$ | - | 2600 | 3458 | pF |
| Output capacitance | C_{oss} | | - | 1000 | 1330 | |
| Reverse transfer capacitance | C_{rss} | | - | 140 | - | |
| Turn-on delay time | $t_{d(on)}$ | $V_{DD}=15\text{ V}, V_{GS}=10\text{ V},$ $I_D=30\text{ A}, R_{G,ext}=1.6\ \Omega$ | - | 5.0 | - | ns |
| Rise time | t_r | | - | 7.2 | - | |
| Turn-off delay time | $t_{d(off)}$ | | - | 27 | - | |
| Fall time | t_f | | - | 4.6 | - | |
| Gate Charge Characteristics⁵⁾ | | | | | | |
| Gate to source charge | Q_{gs} | $V_{DD}=15\text{ V}, I_D=30\text{ A},$ $V_{GS}=0\text{ to }4.5\text{ V}$ | - | 6.3 | 8.4 | nC |
| Gate charge at threshold | $Q_{g(th)}$ | | - | 4.1 | - | |
| Gate to drain charge | Q_{gd} | | - | 6.5 | 8.5 | |
| Switching charge | Q_{sw} | | - | 8.8 | - | |
| Gate charge total | Q_g | | - | 20 | 27 | |
| Gate plateau voltage | $V_{plateau}$ | | - | 2.5 | - | V |
| Gate charge total | Q_g | $V_{DD}=15\text{ V}, I_D=30\text{ A},$ $V_{GS}=0\text{ to }10\text{ V}$ | - | 41 | 55 | nC |
| Gate charge total, sync. FET | $Q_{g(sync)}$ | $V_{DS}=0.1\text{ V},$ $V_{GS}=0\text{ to }4.5\text{ V}$ | - | 16 | - | |
| Output charge | Q_{oss} | $V_{DD}=15\text{ V}, V_{GS}=0\text{ V}$ | - | 28 | 37 | |
| Reverse Diode | | | | | | |
| Diode continuous forward current | I_S | $T_C=25\text{ }^\circ\text{C}$ | - | - | 40 | A |
| Diode pulse current | $I_{S,pulse}$ | | - | - | 160 | |
| Diode forward voltage | V_{SD} | $V_{GS}=0\text{ V}, I_F=7\text{ A},$ $T_j=25\text{ }^\circ\text{C}$ | - | 0.55 | 0.7 | V |
| Reverse recovery charge | Q_{rr} | $V_R=15\text{ V}, I_F=I_S,$ $di_F/dt=400\text{ A}/\mu\text{s}$ | - | 2 | - | nC |

⁵⁾ See figure 16 for gate charge parameter definition

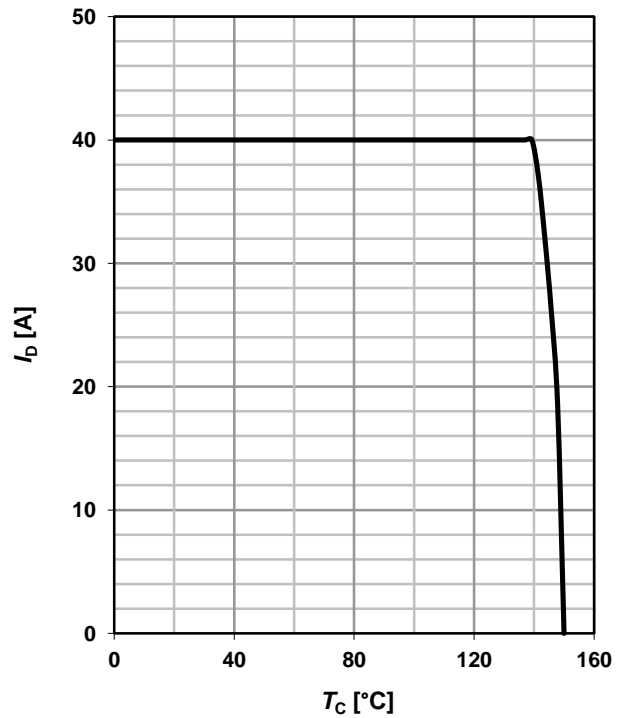
1 Power dissipation

$$P_{tot}=f(T_C)$$



2 Drain current

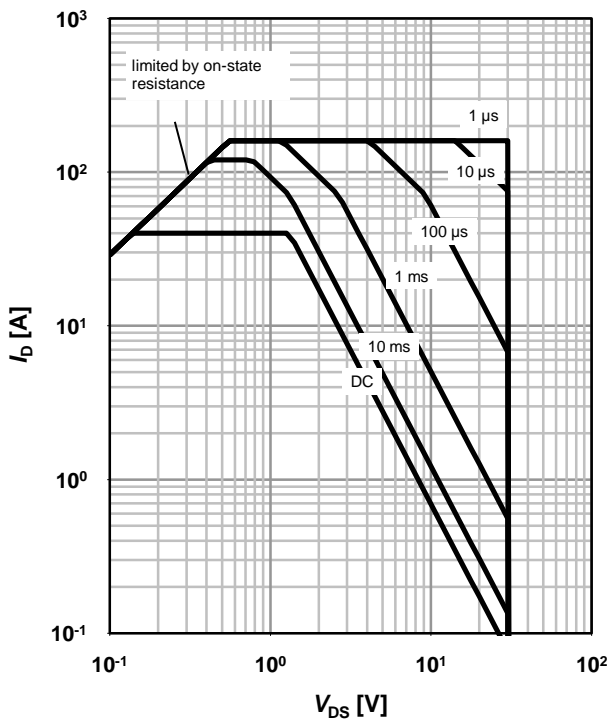
$$I_D=f(T_C); V_{GS} \geq 10 \text{ V}$$



3 Safe operating area

$$I_D=f(V_{DS}); T_C=25 \text{ °C}; D=0$$

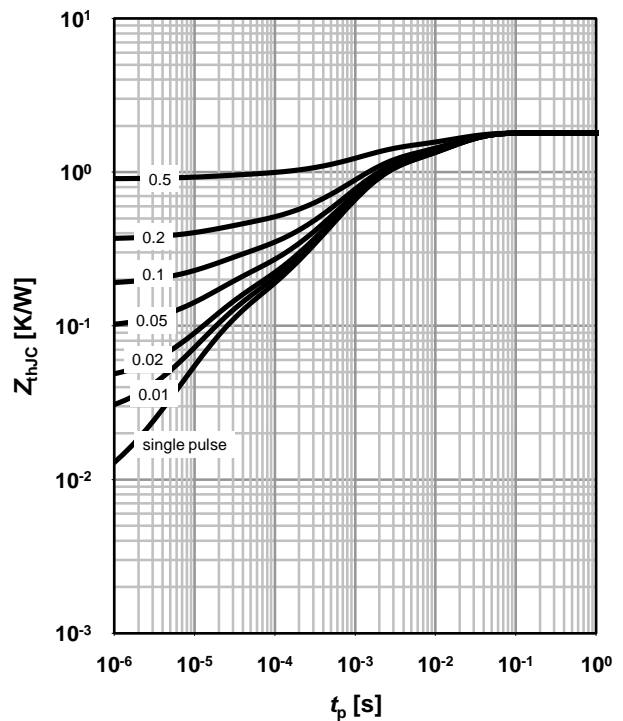
parameter: t_p



4 Max. transient thermal impedance

$$Z_{thJC}=f(t_p)$$

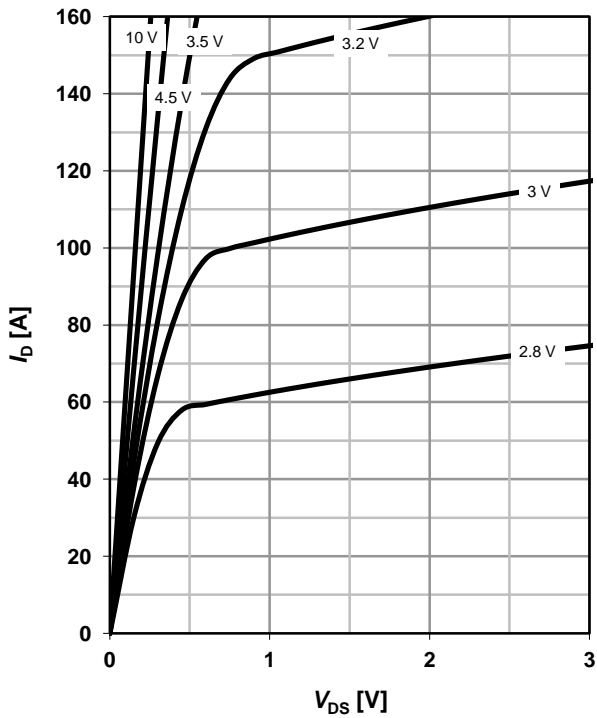
parameter: $D=t_p/T$



5 Typ. output characteristics

$I_D = f(V_{DS}); T_j = 25\text{ °C}$

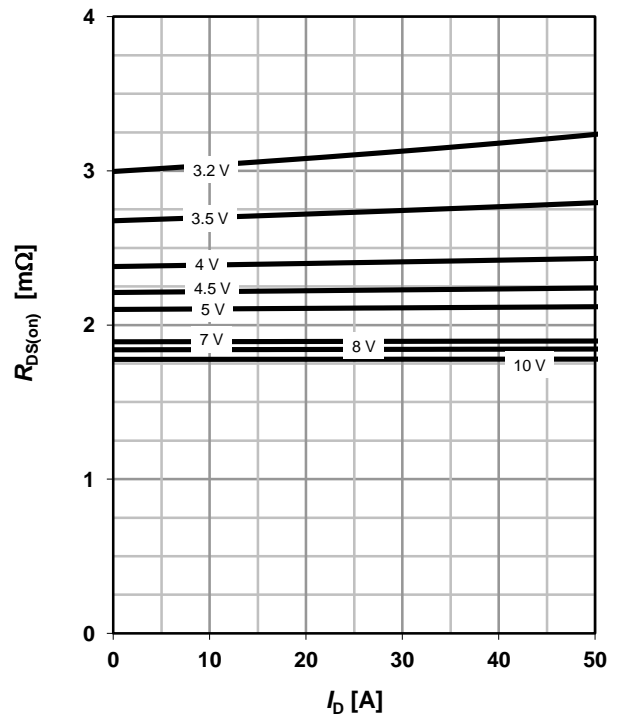
parameter: V_{GS}



6 Typ. drain-source on resistance

$R_{DS(on)} = f(I_D); T_j = 25\text{ °C}$

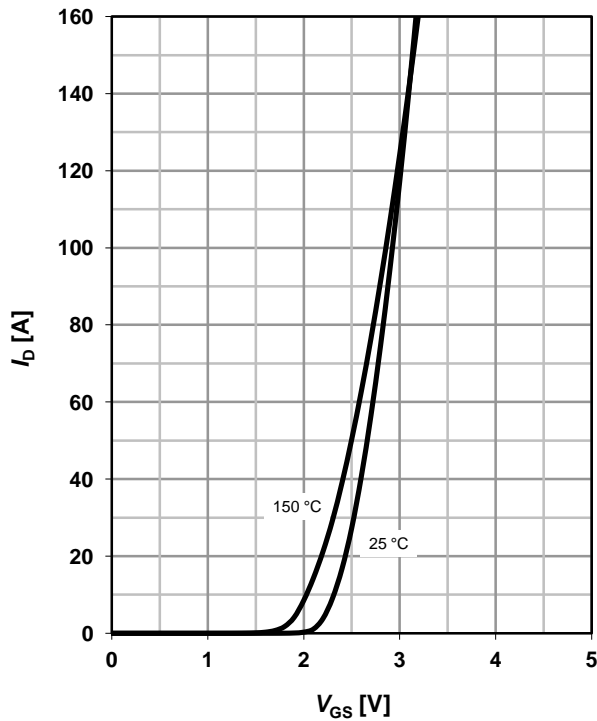
parameter: V_{GS}



7 Typ. transfer characteristics

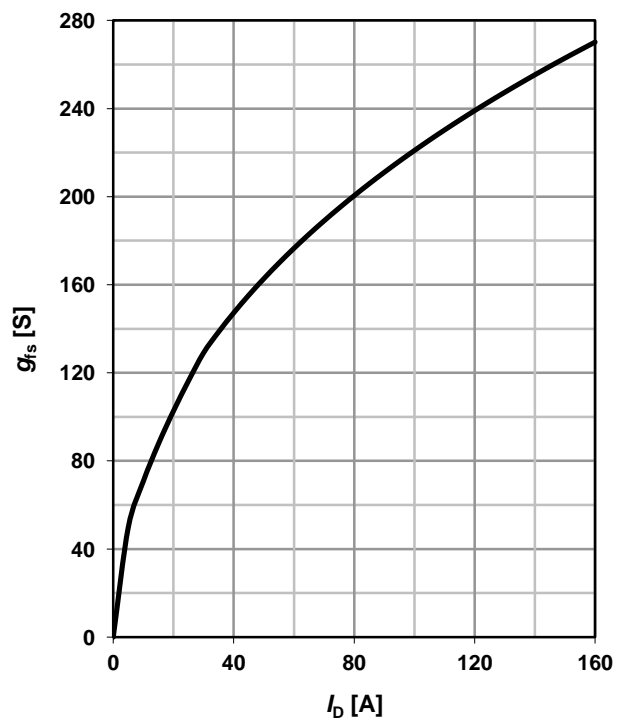
$I_D = f(V_{GS}); |V_{DS}| > 2|I_D|R_{DS(on)max}$

parameter: T_j



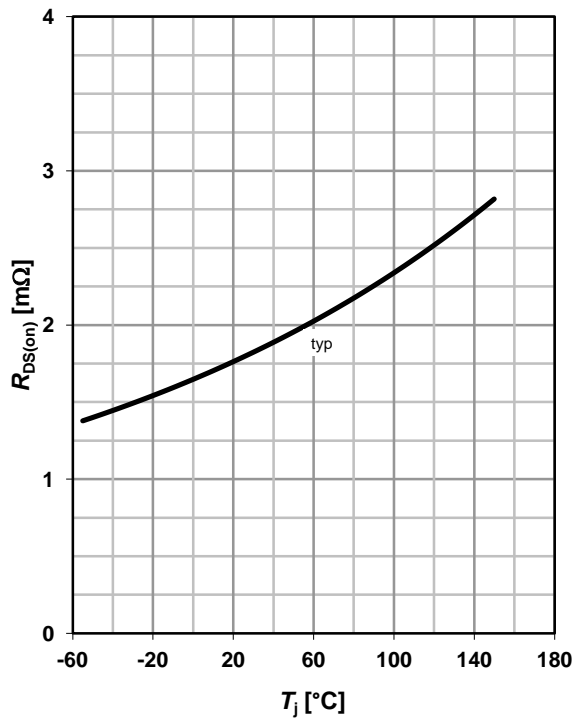
8 Typ. forward transconductance

$g_{fs} = f(I_D); T_j = 25\text{ °C}$



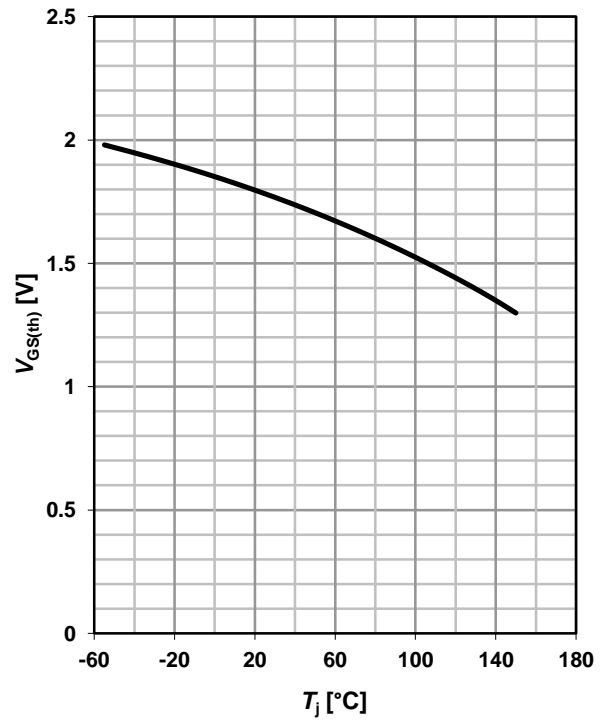
9 Drain-source on-state resistance

$R_{DS(on)}=f(T_j); I_D=20\text{ A}; V_{GS}=10\text{ V}$



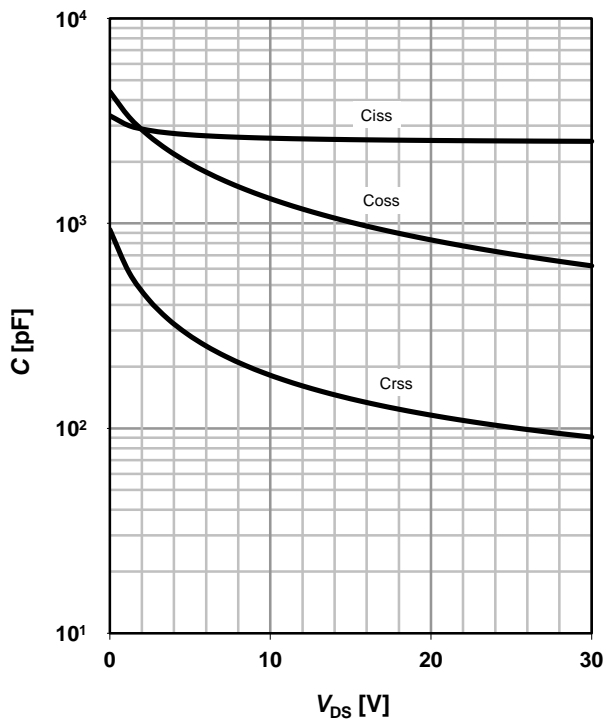
10 Typ. gate threshold voltage

$V_{GS(th)}=f(T_j); V_{GS}=V_{DS}; I_D=10\text{ mA}$



11 Typ. capacitances

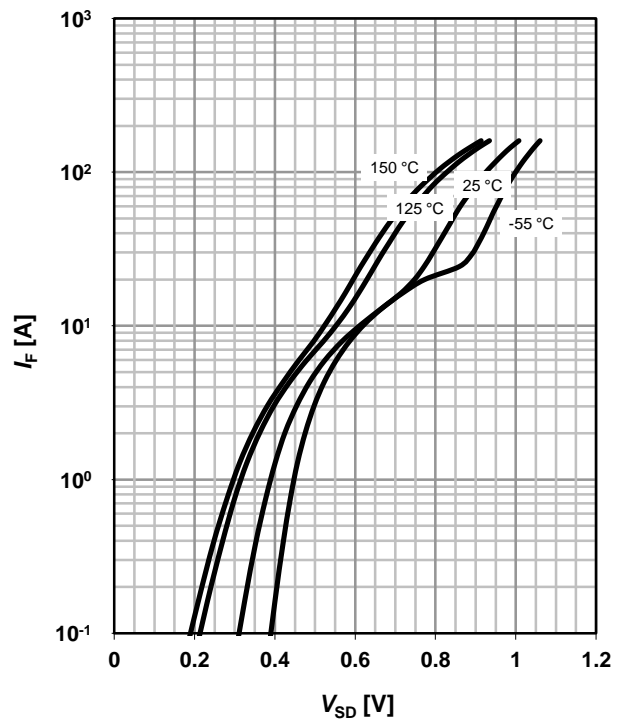
$C=f(V_{DS}); V_{GS}=0\text{ V}; f=1\text{ MHz}$



12 Forward characteristics of reverse diode

$I_F=f(V_{SD})$

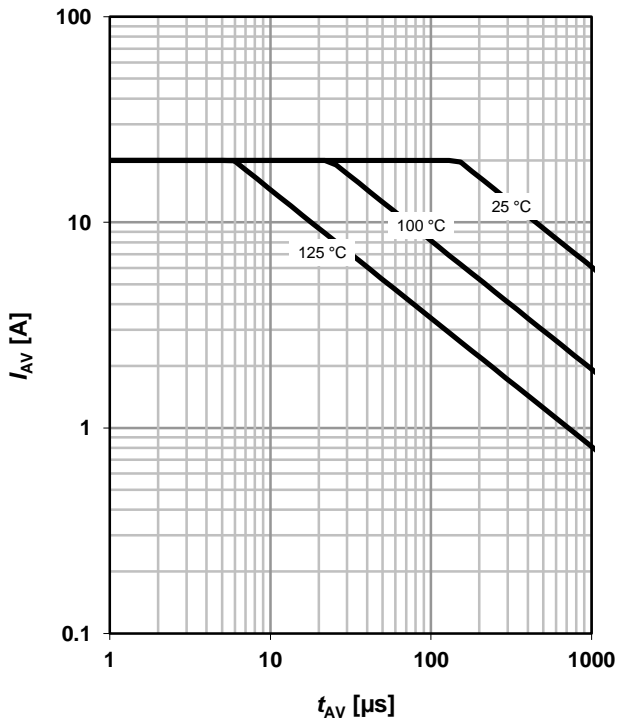
parameter: T_j



13 Avalanche characteristics

$I_{AS}=f(t_{AV}); R_{GS}=25 \Omega$

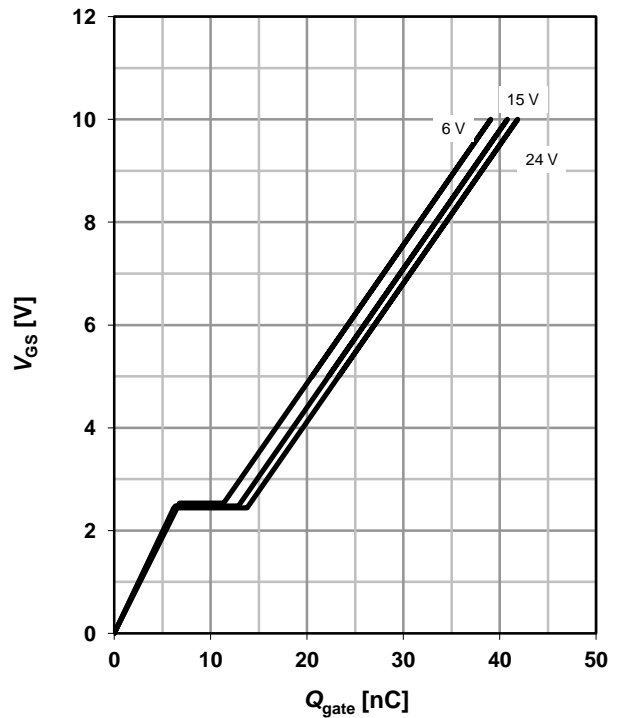
parameter: $T_{j(\text{start})}$



14 Typ. gate charge

$V_{GS}=f(Q_{\text{gate}}); I_D=30 \text{ A pulsed}$

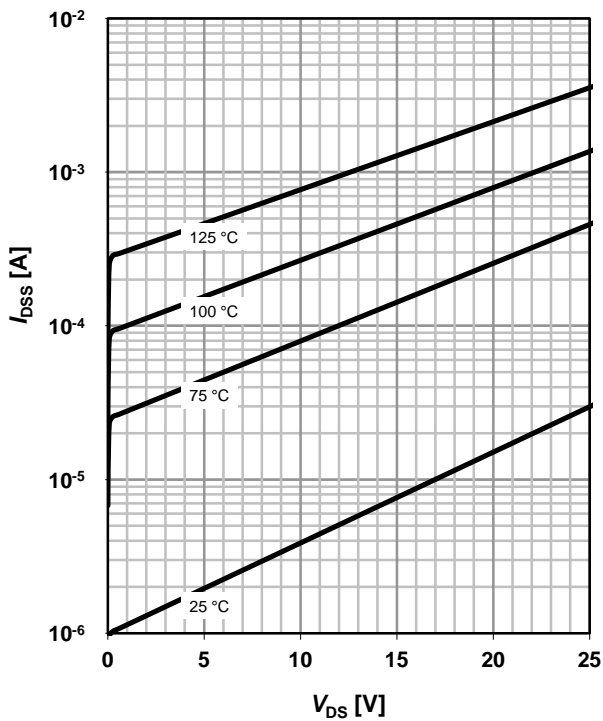
parameter: V_{DD}



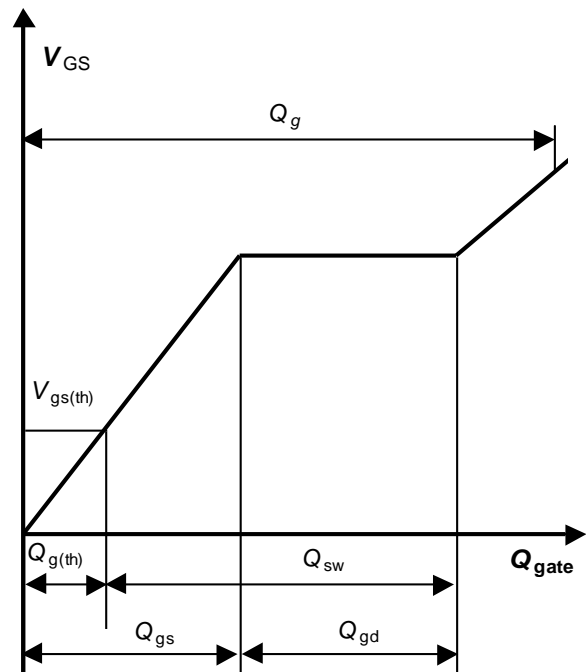
15 Drain-source leakage current

$I_{DSS}=f(V_{DS}); V_{GS}=0 \text{ V}$

parameter: T_j



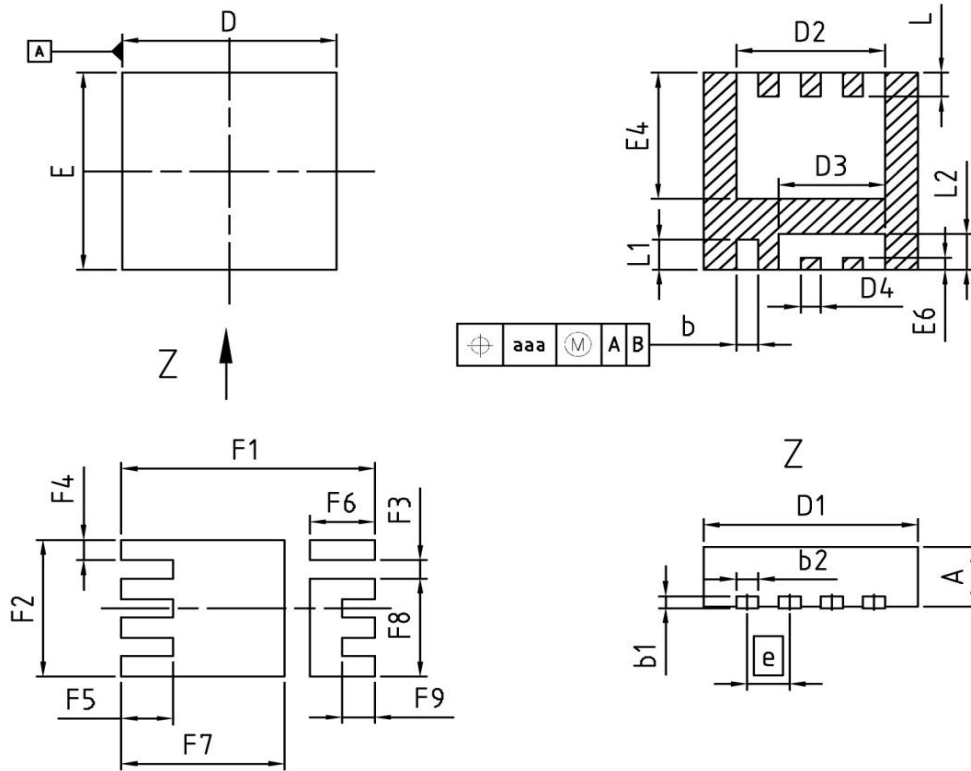
16 Gate charge waveforms



Package Outline

PG-TSDSON-8 (fused leads)

PG-TSDSON-8 (fused leads): Outline



| DIM | MILLIMETERS | | INCHES | |
|------|-------------|------|-------------|-------|
| | MIN | MAX | MIN | MAX |
| A | 0.90 | 1.10 | 0.035 | 0.043 |
| b | 0.24 | 0.44 | 0.009 | 0.017 |
| b1 | 0.10 | 0.30 | 0.004 | 0.012 |
| b2 | 0.24 | 0.44 | 0.009 | 0.017 |
| D=D1 | 3.20 | 3.40 | 0.126 | 0.134 |
| D2 | 2.19 | 2.39 | 0.086 | 0.094 |
| D3 | 1.54 | 1.74 | 0.061 | 0.069 |
| D4 | 0.21 | 0.41 | 0.008 | 0.016 |
| E | 3.20 | 3.40 | 0.126 | 0.134 |
| E4 | 2.01 | 2.21 | 0.079 | 0.087 |
| E6 | 0.10 | 0.30 | 0.004 | 0.012 |
| e | 0.65 (BSC) | | 0.026 (BSC) | |
| N | 8 | | 8 | |
| L | 0.30 | 0.51 | 0.012 | 0.020 |
| L1 | 0.40 | 0.70 | 0.016 | 0.028 |
| L2 | 0.50 | 0.70 | 0.020 | 0.028 |
| aaa | 0.25 | | 0.010 | |
| F1 | 3.90 | | 0.154 | |
| F2 | 2.29 | | 0.090 | |
| F3 | 0.31 | | 0.012 | |
| F4 | 0.34 | | 0.013 | |
| F5 | 0.80 | | 0.031 | |
| F6 | 1.00 | | 0.039 | |
| F7 | 2.51 | | 0.099 | |
| F8 | 1.64 | | 0.065 | |
| F9 | 0.50 | | 0.020 | |

DOCUMENT NO.
Z8B00158553

SCALE

EUROPEAN PROJECTION

ISSUE DATE
27-12-2010

REVISION
02

Published by
Infineon Technologies AG
81726 Munich, Germany
© 2010 Infineon Technologies AG
All Rights Reserved.

Legal Disclaimer

The information given in this document shall in no event be regarded as a guarantee of conditions or characteristics. With respect to any examples or hints given herein, any typical values stated herein and/or any information regarding the application of the device, Infineon Technologies hereby disclaims any and all warranties and liabilities of any kind, including without limitation, warranties of non-infringement of intellectual property rights of any third party.

Information

For further information on technology, delivery terms and conditions and prices, please contact the nearest Infineon Technologies Office (www.infineon.com).

Warnings

Due to technical requirements, components may contain dangerous substances. For information on the types in question, please contact the nearest Infineon Technologies Office. Infineon Technologies components may be used in life-support devices or systems only with the express written approval of Infineon Technologies, if a failure of such components can reasonably be expected to cause the failure of that life-support device or system or to affect the safety or effectiveness of that device or system. Life support devices or systems are intended to be implanted in the human body or to support and/or maintain and sustain and/or protect human life. If they fail, it is reasonable to assume that the health of the user or other persons may be endangered.

Компания «Океан Электроники» предлагает заключение долгосрочных отношений при поставках импортных электронных компонентов на взаимовыгодных условиях!

Наши преимущества:

- Поставка оригинальных импортных электронных компонентов напрямую с производств Америки, Европы и Азии, а так же с крупнейших складов мира;
- Широкая линейка поставок активных и пассивных импортных электронных компонентов (более 30 млн. наименований);
- Поставка сложных, дефицитных, либо снятых с производства позиций;
- Оперативные сроки поставки под заказ (от 5 рабочих дней);
- Экспресс доставка в любую точку России;
- Помощь Конструкторского Отдела и консультации квалифицированных инженеров;
- Техническая поддержка проекта, помощь в подборе аналогов, поставка прототипов;
- Поставка электронных компонентов под контролем ВП;
- Система менеджмента качества сертифицирована по Международному стандарту ISO 9001;
- При необходимости вся продукция военного и аэрокосмического назначения проходит испытания и сертификацию в лаборатории (по согласованию с заказчиком);
- Поставка специализированных компонентов военного и аэрокосмического уровня качества (Xilinx, Altera, Analog Devices, Intersil, Interpoint, Microsemi, Actel, Aeroflex, Peregrine, VPT, Syfer, Eurofarad, Texas Instruments, MS Kennedy, Miteq, Cobham, E2V, MA-COM, Hittite, Mini-Circuits, General Dynamics и др.);

Компания «Океан Электроники» является официальным дистрибьютором и эксклюзивным представителем в России одного из крупнейших производителей разъемов военного и аэрокосмического назначения «JONHON», а так же официальным дистрибьютором и эксклюзивным представителем в России производителя высокотехнологичных и надежных решений для передачи СВЧ сигналов «FORSTAR».



JONHON

«JONHON» (основан в 1970 г.)

Разъемы специального, военного и аэрокосмического назначения:

(Применяются в военной, авиационной, аэрокосмической, морской, железнодорожной, горно- и нефтедобывающей отраслях промышленности)

«FORSTAR» (основан в 1998 г.)

ВЧ соединители, коаксиальные кабели, кабельные сборки и микроволновые компоненты:

(Применяются в телекоммуникациях гражданского и специального назначения, в средствах связи, РЛС, а так же военной, авиационной и аэрокосмической отраслях промышленности).



Телефон: 8 (812) 309-75-97 (многоканальный)

Факс: 8 (812) 320-03-32

Электронная почта: ocean@oceanchips.ru

Web: <http://oceanchips.ru/>

Адрес: 198099, г. Санкт-Петербург, ул. Калинина, д. 2, корп. 4, лит. А